

## 土中のひずみ測定法について

京都大学大学院 学生員 ○ 堀 正幸  
同 安藤 信夫

1. 序 土中の真の応力とひずみを知ることは、土の力学特性を研究する上に極めて重要である。にもかかわらず土中の任意箇所でのひずみを測定することはこれまで全く不可能であった。土の強度と变形に適する問題が盛んに論じられてる今日、土中のひずみ計測器の開発が早急に望まれるようになつた。静電容量式のひずみ計はその構造が簡単など他の比較的大きな変位をも測定できることがその利点により、これまで主に空気中では各方面で用いられてきた。筆者らはこれに多少の工夫を加え、これを用いて土中の一箇所のひずみ測定が可能であることを実験的に確かめた。

2. 原理 Fig.1 に示されるように 2 枚の導体板が平行に置かれる時、そのコンデンサーへ蓄え得る静電容量 C は次式で与えられる。

$$C = \frac{A \epsilon_0 \epsilon_s}{D} = 8.885 \times \frac{A \epsilon_s}{D} \quad [\mu F] \quad (1)$$

ここで、A : 対向面積  $a \times b (m)$ ,  $\epsilon_0$  : 調電率,  $\epsilon_s$  : 比誘電率, D : 極板間隔 (m)。極板間隔が微小変化した時の静電容量の変化量は試験中  $\epsilon_s$  が一定とすれば次式で与えられる。

$$\Delta C = 8.885 \times \frac{A \epsilon_s}{D^2} \Delta D \quad [\mu F] \quad (2)$$

ひずみ計は Fig.2 に示される如くメータ G と 5 つのコンデンサーによりブリッジが組まれ、ここに、 $C_3$  と  $C_4$  は固定コンデンサー、 $C_2$  は平衡用コンデンサー、 $C_1$  は土中に埋め込まれるコンデンサー、 $C_5$  はキャリブレーション時と実験時との外界条件を調節する可変コンデンサーである。実験前にメータ G に電流が流れない様、 $C_2$  を調節しておき、土中に埋め込まれた 2 枚の極板間に土がひずみを受けた時、式(2)に従う静電容量の変化が起り、同時にメータ G にその変化量に相当する電流が流れれる。

3. キャリブレーション 土のひずみとメータに流れる電流の関係を知るために、Fig.3 の方法でキャリブレーションを行つた。2 枚の電極板の大きさは任意であるが、ここに使用したもののは、 $2.5 \times 1.5 \text{ cm}$  の大きさの銅板に工

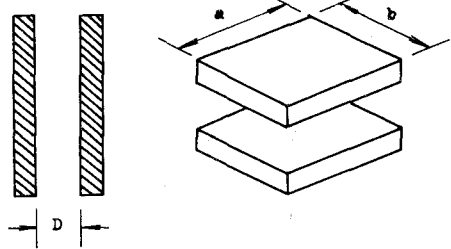


Fig. 1 Conductor Plates in Parallel

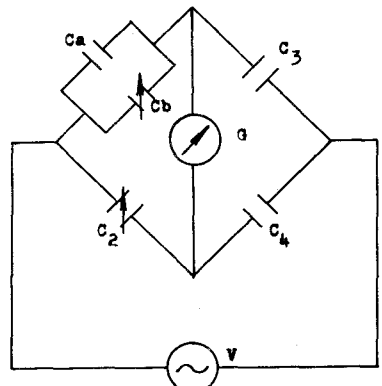


Fig. 2 Bridge Circuit in Probe

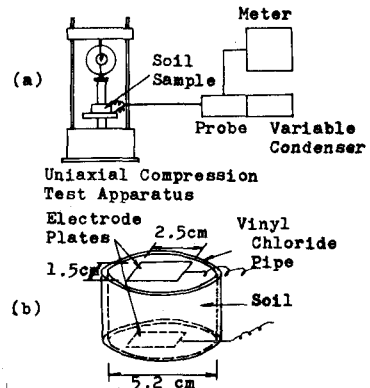


Fig. 3 Manner of Calibration Test

ナメルでコーティングしたもののよう。Fig.3(b)のようになしにセットした後、(a)図のせん断一軸圧縮試験料でひずみを加えていくと、メータに流れる電流と極板間隔の変化量とによつてプロットすると、その一例としてFig.4の曲線を得る。このデータは砂質ロームを充てて得た試料によるもので、図には、その見かけ密度 $\gamma$ と含水比 $w$ が同時に記入されている。得られる出力(アンペア)は含水比と密度に著しく依存する。すなわち、式(2)の比誘電率 $\epsilon_r$ は含水比と密度の増加と共に大きくなる。しかし、ある含水比以上になると再び小さくなっている。Fig.5は同じ砂質ロームの試料について、含水比を9.9~10.7%とほぼ一定に保つ4種の密度について得られた曲線を同一面上に描いたものである。これによると、 $1.78/cm^3$ の結果以外、出力は密度の増加と共に増加している。Fig.6は同じ試験を粘土について行った結果である。図に極板の初期間隔 $D$ と含水比および密度が記入されている。これより、乱さない粘土と乱した粘土の曲線は形の上で大きく違つてあることが分かる。

4. 応用 このひずみ計を用いて、粘土の一軸圧縮試験時ににおける試料の各部でのひずみが測定された。その結果はFig.7に示されている。この図より、供試体内のひずみ分布は決して一様ではなく、上、下部でのひずみは平均ひずみよりも大きく、中央部でのひずみは小さいことが分かる。また、せん断が進行するにつれて、軸方向のひずみは増加していくが、横方向へ流動していることが容易に推察されよう。

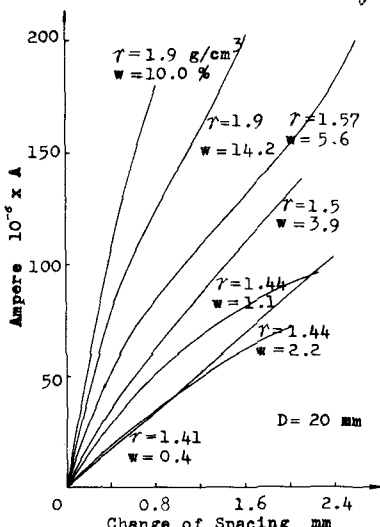


Fig.4 Calibration Curve for Sandy Loam

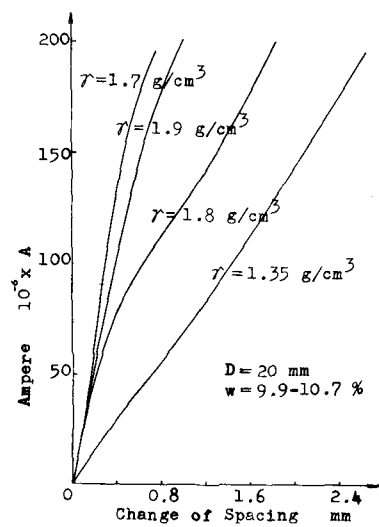


Fig.5 Calibration Curve for Sandy Loam

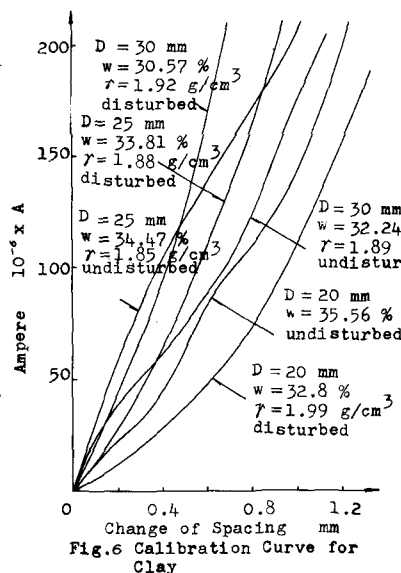


Fig.6 Calibration Curve for Clay

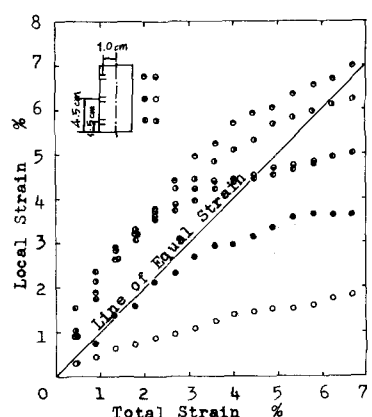


Fig.7 Strains in One-Dimensional Compression Test Specimen